

СПЕКТРОСКОПИЯ ОКРУЖАЮЩЕЙ СРЕДЫ

УДК 539.194

М.А. Булдаков¹, В.Н. Черепанов², Н.С. Нагорнова²**Функции динамической поляризуемости молекул LiH и Li₂**¹*Институт мониторинга климатических и экологических систем СО РАН, г. Томск*²*Томский государственный университет*

Поступила в редакцию 3.07.2007 г.

Предложено аналитическое описание тензора динамической электронной поляризуемости $\alpha_{ii}(R, \omega)$ двухатомных молекул LiH и Li₂ как функций их межъядерного расстояния R и частоты внешнего электромагнитного поля ω . Описание базируется на оценках верхних и нижних границ $\alpha_{ii}(R, \omega)$, которые рассчитываются с помощью известных функций статической поляризуемости молекулы $\alpha_{ii}(R, 0)$, конечного числа энергий возбужденных электронных состояний молекулы $E_m(R)$ и моментов электродипольных переходов $(d_i)_{0m}(R)$.

Введение

Электронная поляризуемость двухатомной молекулы представляет собой тензор второго ранга, который имеет две независимые компоненты $\alpha_{zz}(R, \omega)$ и $\alpha_{xx}(R, \omega) = \alpha_{yy}(R, \omega)$, каждая из них задает поверхность в координатах межъядерного расстояния R и частоты внешнего электромагнитного поля ω (ось z декартовой системы координат совпадает с осью молекулы). В настоящее время наиболее полно поверхности поляризуемости рассчитаны для молекулы водорода [1, 2].

В работе [1] проведен расчет поляризуемости молекулы H₂ в диапазоне межъядерных расстояний $0,6 \leq R \leq 10,0$ а.е. для ряда частот $\omega = 0,07200; 0,15351; 0,19785; 0,23538; 0,25000; 0,30000$ а.е. на основе специального высокоточного *ab initio* метода [3], использующего волновые функции Джеймса–Кулиджа.

В работе [2] предложен метод, позволяющий в аналитическом виде описывать поверхности поляризуемости двухатомной молекулы, и с высокой точностью проведены расчеты $\alpha_{ii}(R, \omega)$ молекулы водорода в интервале изменений $R \in [0, \infty)$ и на частотах $\omega \leq 0,6$ а.е.

Из других работ, в которых представлены поляризуемости $\alpha_{ii}(R, \omega)$ в широком диапазоне изменений R и ω , следует отметить расчеты поверхностей поляризуемости молекул LiH [4] и N₂ [5]. Функции поляризуемости молекулы LiH [4] рассчитаны *ab initio* методом в диапазоне $2,0 \leq R \leq 12,0$ а.е. для статического поля и двух частот $\omega = 0,0147$ и $0,0294$ а.е., но точность этих расчетов заметно ниже, чем для молекулы водорода.

В работе [5] приведено аналитическое описание поверхностей поляризуемости молекулы N₂, однако использованные в этой работе приближения дают заметно завышенную оценку функций $\alpha_{ii}(R, \omega)$, при этом частотная область ее определения ограничена частотой первого разрешенного электродипольного электронного перехода. Наряду с этими работами имеется ряд *ab initio* расчетов (см., например, [6–14]), в которых представлены лишь небольшие участки

поверхностей поляризуемости различных двухатомных молекул в окрестности их равновесных положений R_e и достаточно широком диапазоне частот.

Целью данной работы является получение поверхностей поляризуемости $\alpha_{zz}(R, \omega)$ и $\alpha_{xx}(R, \omega) = \alpha_{yy}(R, \omega)$ молекул LiH и Li₂ в основном электронном состоянии. Для расчета поверхностей поляризуемости использован метод, предложенный нами в работе [2], который позволяет получить функции $\alpha_{zz}(R, \omega)$ и $\alpha_{xx}(R, \omega) = \alpha_{yy}(R, \omega)$ в аналитическом виде.

1. Аналитическое представление функций динамической поляризуемости

Квантово-механическое выражение для динамической электронной поляризуемости двухатомной молекулы в основном электронном состоянии представляется в виде (а.е.)

$$\alpha_{ii}(R, \omega) = 2 \sum_{m=0}^{\infty} \frac{[E_m(R) - E_0(R)](d_i)_{0m}(R)}{[E_m(R) - E_0(R)]^2 - \omega^2}, \quad (1)$$

где $| (d_i)_{0m}(R) |$ – i -я компонента дипольного момента перехода между основным и возбужденными электронными состояниями с энергиями $E_0(R)$ и $E_m(R)$, а суммирование проводится по бесконечному числу возбужденных состояний, включая и состояния непрерывного спектра (здесь и далее под энергиями $E_0(R)$ и $E_m(R)$ понимается чисто электронная энергия, в которую не включена потенциальная энергия отталкивания ядер молекулы). Хотя выражение (1) является формально корректным для любой частоты ω (вдали от резонанса), оно малопригодно для расчетов динамической поляризуемости молекулы из-за бесконечного числа слагаемых. Тем не менее это выражение можно использовать для расчета верхних и нижних границ функций динамической поляризуемости $\alpha_{ii}(R, \omega)$ двухатомной молекулы, зная лишь ее функции статической поляризуемости $\alpha_{ii}(R, 0)$, а также конечное число электронных энергий $E_m(R)$ и моментов переходов $(d_i)_{0m}(R)$ [2].

Пусть нам известны функции $\alpha_{ii}(R, 0)$ и $E_0(R)$ для основного электронного состояния и функции $E_m(R)$ и $(d_i)_{0m}(R)$ для k нижних возбужденных электронных состояний молекулы. Тогда выражение (1) можно представить в виде

$$\alpha_{ii}(R, \omega) = 2 \sum_{m=1}^k \frac{|(d_i)_{0m}(R)|^2}{E_m(R) - E_0(R)} \frac{[E_m(R) - E_0(R)]^2}{[E_m(R) - E_0(R)]^2 - \omega^2} + 2 \sum_{m=k+1} \frac{|(d_i)_{0m}(R)|^2}{E_m(R) - E_0(R)} \frac{[E_m(R) - E_0(R)]^2}{[E_m(R) - E_0(R)]^2 - \omega^2}. \quad (2)$$

Для задания верхней и нижней границ $\alpha_{ii}^{\max}(R, \omega)$ и $\alpha_{ii}^{\min}(R, \omega)$ воспользуемся тем, что множитель $[E_m(R) - E_0(R)]^2 / \{[E_m(R) - E_0(R)]^2 - \omega^2\}$ во втором слагаемом выражения (2) монотонно убывает по абсолютной величине с ростом m для частот, удовлетворяющих условию $\omega < E_{k+1}(R) - E_0(R)$. На основании этого выражения для верхней и нижней границ поляризуемости можно записать в виде [2]:

$$\alpha_{ii}^{\max}(R, \omega) = 2 \sum_{m=1}^k \frac{|(d_i)_{0m}(R)|^2}{E_m(R) - E_0(R)} \frac{[E_m(R) - E_0(R)]^2}{[E_m(R) - E_0(R)]^2 - \omega^2} + \frac{[E_{k+1}(R) - E_0(R)]^2}{[E_{k+1}(R) - E_0(R)]^2 - \omega^2} 2 \sum_{m=k+1} \frac{|(d_i)_{0m}(R)|^2}{E_m(R) - E_0(R)} \quad (3)$$

и

$$\alpha_{ii}^{\min}(R, \omega) = 2 \sum_{m=1}^k \frac{|(d_i)_{0m}(R)|^2}{E_m(R) - E_0(R)} \frac{[E_m(R) - E_0(R)]^2}{[E_m(R) - E_0(R)]^2 - \omega^2} + \frac{[E_0(R)]^2}{[E_0(R)]^2 - \omega^2} 2 \sum_{m=k+1} \frac{|(d_i)_{0m}(R)|^2}{E_m(R) - E_0(R)}. \quad (4)$$

Процедуру суммирования по бесконечному числу возбужденных состояний (включая состояния непрерывного спектра) во вторых слагаемых в выражениях (3) и (4) можно избежать, используя квантово-механическое выражение для статической поляризуемости молекулы [см. выражение (1)]:

$$\alpha_{ii}(R, 0) = 2 \sum_{m=1}^k \frac{|(d_i)_{0m}(R)|^2}{E_m(R) - E_0(R)} + 2 \sum_{m=k+1} \frac{|(d_i)_{0m}(R)|^2}{E_m(R) - E_0(R)}. \quad (5)$$

С учетом (5) выражения (3) и (4) могут быть переписаны в виде

$$\alpha_{ii}^{\max}(R, \omega) = \alpha_{ii}(R, 0) \frac{[E_{k+1}(R) - E_0(R)]^2}{[E_{k+1}(R) - E_0(R)]^2 - \omega^2} + 2 \sum_{m=1}^k \frac{|(d_i)_{0m}(R)|^2}{E_m(R) - E_0(R)} \left\{ \frac{[E_m(R) - E_0(R)]^2}{[E_m(R) - E_0(R)]^2 - \omega^2} - \frac{[E_{k+1}(R) - E_0(R)]^2}{[E_{k+1}(R) - E_0(R)]^2 - \omega^2} \right\} \quad (6)$$

и

$$\alpha_{ii}^{\min}(R, \omega) = \alpha_{ii}(R, 0) \frac{[E_0(R)]^2}{[E_0(R)]^2 - \omega^2} + 2 \sum_{m=1}^k \frac{|(d_i)_{0m}(R)|^2}{E_m(R) - E_0(R)} \times \left\{ \frac{[E_m(R) - E_0(R)]^2}{[E_m(R) - E_0(R)]^2 - \omega^2} - \frac{[E_0(R)]^2}{[E_0(R)]^2 - \omega^2} \right\}, \quad (7)$$

в которых суммы с бесконечным верхним пределом устраниены. Сама же функция динамической поляризуемости двухатомной молекулы может быть представлена как

$$\alpha_{ii}(R, \omega) = \frac{\alpha_{ii}^{\max}(R, \omega) + \alpha_{ii}^{\min}(R, \omega)}{2} \pm \frac{\alpha_{ii}^{\max}(R, \omega) - \alpha_{ii}^{\min}(R, \omega)}{2} = \bar{\alpha}_{ii}(R, \omega) \pm \Delta\alpha_{ii}(R, \omega), \quad (8)$$

где $\bar{\alpha}_{ii}(R, \omega)$ – оценочная функция динамической поляризуемости $\alpha_{ii}(R, \omega)$; $\Delta\alpha_{ii}(R, \omega)$ – погрешность определения функции $\alpha_{ii}(R, \omega)$, вносимая рассматриваемым методом. Выражения (6)–(8) корректно описывают функцию $\alpha_{ii}(R, \omega)$ в области частот до $\omega_{k+1} = E_{k+1}(R) - E_0(R)$. Очевидно, что при $k \rightarrow \infty$ функция $\alpha_{ii}(R, \omega)$ стремится к $\alpha_{ii}(R, 0)$, а погрешность $\Delta\alpha_{ii}(R, \omega)$ – к нулю. Отметим также, что $\Delta\alpha_{ii}(R, \omega)$ равна нулю при $\omega = 0$, поскольку $\alpha_{ii}^{\max}(R, \omega) = \alpha_{ii}^{\min}(R, 0) = \alpha_{ii}(R, 0)$, и монотонно возрастает с увеличением ω ($\omega < \omega_{k+1}$).

Динамическая поляризуемость $\alpha_{ii}(R, \omega)$ может быть также представлена в виде дисперсионного разложения Коши, которое корректно описывает частотную зависимость поляризуемости в длинноволновой области спектра. В этом случае функции $\alpha_{ii}(R, \omega)$ и $\Delta\alpha_{ii}(R, \omega)$ могут быть записаны в виде

$$\bar{\alpha}_{ii}(R, \omega) = \sum_{n=0}^{\infty} \bar{S}_i^{(-2n-2)}(R) \omega^{2n}, \quad (9)$$

$$\Delta\alpha_{ii}(R, \omega) = \sum_{n=0}^{\infty} \Delta S_i^{(-2n-2)}(R) \omega^{2n}, \quad (10)$$

где $\bar{S}_i^{(-2n-2)}(R)$ и $\Delta S_i^{(-2n-2)}(R)$ являются оценкой и погрешностью определения n -го коэффициента Коши и зависят от межъядерного расстояния молекулы. Эти функции имеют следующий вид:

$$\begin{aligned} \bar{S}_i^{(-2n-2)}(R) = & \frac{\alpha_{ii}(R, 0)}{2} \times \\ & \times \left\{ \frac{1}{[E_{k+1}(R) - E_0(R)]^{2n}} + \frac{1}{[E_0(R)]^{2n}} \right\} + \\ & + \sum_{m=1}^k \frac{|(d_i)_{0m}(R)|^2}{E_m(R) - E_0(R)} \left\{ \frac{2}{[E_m(R) - E_0(R)]^{2n}} - \right. \\ & \left. - \frac{1}{[E_{k+1}(R) - E_0(R)]^{2n}} - \frac{1}{[E_0(R)]^{2n}} \right\}, \end{aligned} \quad (11)$$

$$\Delta S_i^{(-2n-2)}(R) = \left[\frac{\alpha_{ii}(R, 0)}{2} - \sum_{m=1}^k \frac{|(d_i)_{0m}(R)|^2}{E_m(R) - E_0(R)} \right] \times$$

$$\times \left\{ \frac{1}{[E_{k+1}(R) - E_0(R)]^{2n}} - \frac{1}{[E_0(R)]^{2n}} \right\}. \quad (12)$$

Очевидно, что при $k \rightarrow \infty$ погрешность оценки коэффициентов Коши $\Delta S_i^{(-2n-2)}(R)$ стремится к нулю, а сама оценка $\bar{S}_i^{(-2n-2)}(R)$ стремится к хорошо известному выражению для коэффициентов Коши:

$$S_i^{(-2n-2)}(R) = 2 \sum_m \frac{|(d_i)_{0m}(R)|^2}{[E_m(R) - E_0(R)]^{2n+1}} \quad (13)$$

при произвольном межъядерном расстоянии R .

2. Результаты расчета

Изложенный выше метод применен для построения функций динамической поляризуемости молекул LiH и Li_2 , находящихся в основных электронных состояниях ${}^1\Sigma^+$ и ${}^1\Sigma_g^+$. Матричные элементы дипольного момента для компонент тензора поляризуемости $\alpha_{zz}(R, \omega)$ и $\alpha_{xx}(R, \omega) \equiv \alpha_{yy}(R, \omega)$ определяются для них различные правила отбора по Λ , где Λ – собственное значение проекции орбитального момента электронов на ось молекулы. Так, для компоненты тензора поляризуемости $\alpha_{zz}(R, \omega)$ возбужденные электронные состояния $E_m(R)$, в которые разрешены переходы, определяются правилом отбора $\Delta\Lambda = 0$ (${}^1\Sigma^+ \rightarrow {}^1\Sigma^+$,

$g \rightarrow u$), а для компонент $\alpha_{xx}(R, \omega) \equiv \alpha_{yy}(R, \omega)$ – правилом отбора $|\Delta\Lambda| = 1$ (${}^1\Sigma^+ \rightarrow {}^1\Pi$, $g \rightarrow u$).

Молекула LiH

Компоненты тензора поляризуемости $\alpha_{ii}(R, \omega)$ молекулы LiH рассчитывались с использованием численных значений возбужденных электронных уровней энергии $E_m(R)$ (по два нижних уровня симметрии ${}^1\Sigma^+$ и ${}^1\Pi$) из работы [15] (за вычетом электростатической энергии отталкивания ядер $Z_1 Z_2 / R$). Недостающие значения электронных уровней энергии в области малых межъядерных расстояний ($R < 1,8$ а.е. для возбужденных состояний ${}^1\Pi$ и $R < 2$ а.е. для возбужденных состояний ${}^1\Sigma^+$) были доопределены интерполяцией с помощью кубического сплайна к соответствующим состояниям объединенного атома Be [16]. Значения дипольных моментов переходов $(d_i)_{0m}(R)$ в эти состояния рассчитаны в работе [17] и для $R < 1,75$ а.е. доопределены нами аналогичным образом до значений дипольных моментов переходов между соответствующими состояниями атома Be.

Функции $E_m(R)$ и $(d_i)_{0m}(R)$, а также функции статической поляризуемости $\alpha_{ii}(R, 0)$ из работы [18] были использованы далее для расчетов верхних и нижних границ функций динамической поляризуемости $\alpha_{ii}(R, \omega)$ и ее оценочной функции $\bar{\alpha}_{ii}(R, \omega)$ основного состояния молекулы LiH (см. выражения (6)–(8) с $k = 2$). На рис. 1 представлены рассчитанные

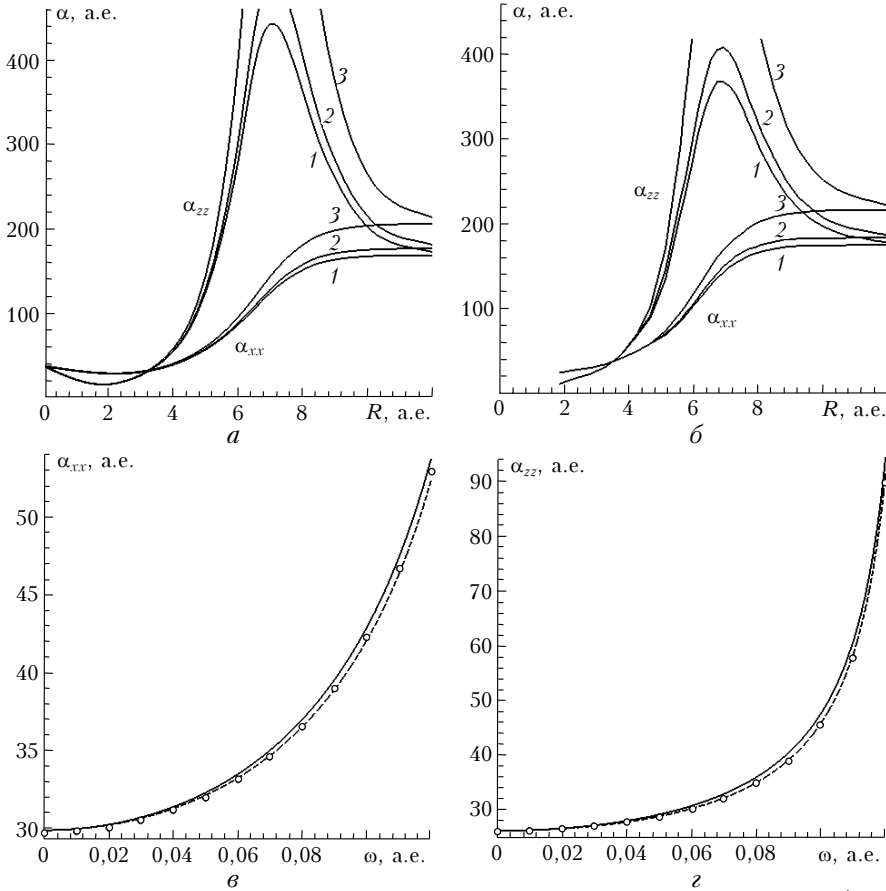


Рис. 1. Функции поляризуемости $\alpha_{xx}(R, \omega)$ и $\alpha_{zz}(R, \omega)$, верхние и нижние границы $\alpha_{ii}^{\max}(R_e, \omega)$ и $\alpha_{ii}^{\min}(R_e, \omega)$ молекулы LiH: a – данная работа; b – *ab initio* расчет [4] ($1 - \omega = 0$; $2 - \omega = 0,0147$ а.е.; $3 - \omega = 0,0294$ а.е.); c , d – данная работа (сплошные линии – $\alpha_{ii}^{\max}(R_e, \omega)$, штриховые – $\alpha_{ii}^{\min}(R_e, \omega)$, кружки – *ab initio* расчет [19]).